



AB 1571



SOLDI Sp. z o.o.
ul. Bieżanowska 22
30-812 Kraków

Sprawozdanie nr 564/2023/OS/10

Sprawozdanie z badania natężenia pól elektromagnetycznych
wykonanych w środowisku

Miejsce wykonania badania:

(dane uzyskane od klienta)

TYC0035_D

43-100 Tychy, Harcerska 3-5-7,
pow. Tychy, woj. śląskie

Data zakończenia badania:

20.12.2023 r.

Klient:

P4 Sp. z o.o.
ul. Wynalazek 1
02-677 Warszawa

Autoryzacja / wydanie sprawozdania:



Leszek Duda
Kierownik ds. Technicznych

Bez pisemnej zgody laboratorium, sprawozdanie nie może być powielane inaczej, jak tylko w całości.

1. Podstawa prawna

Badania wykonano zgodnie z obecnie występującymi aktami prawnymi:

- Ustawa z dnia 27 kwietnia 2001 r. Prawo ochrony środowiska (Dz. U. 2022 poz. 2556 z zm.),
- Rozporządzenie Ministra Zdrowia z dnia 17 grudnia 2019 r. w sprawie dopuszczalnych poziomów pól elektromagnetycznych w środowisku (Dz. U. 2019 poz. 2448),
- Rozporządzenie Ministra Klimatu z dnia 17 lutego 2020 r. w sprawie sposobów sprawdzania dotrzymania dopuszczalnych poziomów pól elektromagnetycznych w środowisku (Dz. U. 2022 poz. 2630).

2. Aparatura pomiarowa

Podczas badań użyto następującej aparatury pomiarowej:

Tabela nr 1

Miernik szerokopasmowy	Sondy	Zakres częstotliwościowy	Zakres pomiarowy*	Świadectwo wzorcowania
Narda NBM - 550 Nr B-0714	EF-0392 nr G-0072	0,1 – 3 600 MHz	0,8 – 1000 V/m	LWiMP/W/016/23; data wydania: 12.01.2023
Narda NBM - 550 Nr B-0714	EF-6091 nr 01096	80 – 90 000 MHz	0,8 – 300 V/m	LWiMP/W/016/23; data wydania: 12.01.2023

*Do wyznaczenia poprawnej wartości natężenia pola elektromagnetycznego uwzględniono współczynniki korekcyjne z właściwego świadectwa wzorcowania.

Aparaturę pomiarową charakteryzują następujące wartości niepewności pomiaru obliczone i przedstawiona zgodnie z dokumentem PN-EN 50413. Podane wartości niepewności stanowią niepewności rozszerzone dla poziomu ufności 95% i współczynnika rozszerzenia $k=2$.

Procedury wdrożone w laboratorium pozwalają zapewnić odporność elektromagnetyczną miernika.

Niepewność pomiarowa wyznaczona dla zainstalowanych i skonfigurowanych obiektów – źródeł pól, jak w dniu pomiaru wynosi 35%.

Dodatkowa aparatura pomiarowa:

- Kompas (busola) [UP/30/Sw]
- Termohigrometr TFA nr 4433 [UP/31/Sw]
(Świadectwo wzorcowania: 0197/AH/21; data wydania: 12.02.2021)
- Taśma miernicza geodezyjna 50 m [UP/33/Sw]
(Świadectwo wzorcowania: U/21/51-512120028.3; data wydania: 10.03.2021)
- Odbiornik GPS REALME GT Neo 2 [UP/22/Sw]

3. Opis badania

Badanie przeprowadziło Laboratorium Badawcze Soldi na podstawie zlecenia firmy P4 Sp. z o.o.

Badanie wykonano zgodnie z:

Załącznikiem do rozporządzenia Ministra Klimatu z dnia 17 lutego 2020 r. *w sprawie sposobów sprawdzania dotrzymania dopuszczalnych poziomów pól elektromagnetycznych w środowisku* (Dz. U. 2022 poz. 2630).

Badania promieniowania elektromagnetycznego, którego źródłem są urządzenia wyszczególnione w punkcie 4 sprawozdania przeprowadzono w pionach pomiarowych na kierunkach zbliżonych do azymutów badanej instalacji, w szczególności w tych miejscach, w których na podstawie uprzednio przeprowadzonych obliczeń, stwierdzono występowanie w danych zakresach częstotliwości pól-EM o poziomach zbliżonych do poziomów dopuszczalnych oraz do odległości, dla której stwierdzono w miejscach dostępnych dla ludności występowanie pól elektromagnetycznych o najwyższym poziomie, które pochodzą z badanej instalacji. Badania pól elektromagnetycznych przeprowadzono w pionach pomiarowych wzdłuż głównych kierunków pomiarowych, dodatkowych pionach oraz w miejscach dostępnych dla ludności w otoczeniu instalacji. W przyjętych pionach pomiarowych pomiary wykonano na wysokościach od 0,3 m do 2,0 m nad powierzchnią terenu albo nad innymi miejscami dostępnymi dla ludności. W pobliżu urządzeń, obiektów i elementów metalowych pomiary wykonano w odległości nie mniejszej niż 0,3 m od tych urządzeń, obiektów i elementów metalowych.

Przy sprawdzeniu dotrzymania dopuszczalnych poziomów pól elektromagnetycznych w środowisku nie uwzględnia się poprawek pomiarowych ze względu, na fakt iż pomiary wykonywane są przy użyciu miernika szerokopasmowego.

4. Informacje przekazane przez klienta

Tabela nr 2 – Opis obiektu, w otoczeniu którego wykonano badania oraz określenie terenu wokół stacji

Tabela nr 2a – Szczegółowe dane źródła pól dla anten mikrofalowych

Tabela nr 2b – Szczegółowe dane źródła pól dla anten sektorowych

Tabela nr 2

Opis obiektu, w otoczeniu którego wykonano pomiary	
Rodzaj konstrukcji wsporczej:	Antenowe konstrukcje wsporcze balastowe
Wysokość masztu:	4,0 m n.p.t.
Rodzaj terenu wokół stacji bazowej:	Stacja bazowa zlokalizowana jest na terenie wiejskim, w najbliższym otoczeniu stacji znajduje się zabudowa mieszkaniowa i usługowa.
Wysokość budynku, na którym zainstalowane są anteny:	36,8 m n.p.t.

Tabela nr 2a

Charakterystyka promieniowania				kierunkowa					
Rzeczywisty czas pracy [h/dobę]				24					
Rodzaj wytwarzanego pola				stacjonarne					
Linia radiowa				Antena					
Lp.	Typ nadajnika	Częstotliwość pracy [GHz]	Moc wyjściowa [dBm]	Typ / producent	Średnica anteny [m]	Azymut [°]	Wysokość zainstal. [m]	LON	LAT
1	OPTIX RTN/HUAWEI	80	19	0.3-80 (VHLP1-80)	0,3	93	38,5	18°58'32.60"E	50°07'12.24"N

Tabela nr 2b

Charakterystyka promieniowania				kierunkowa					
Rzeczywisty czas pracy [h/dobę]				Całodobowa 24h					
Warunki pracy				Znamionowe					
Rodzaj wytwarzanego pola				stacjonarne					
Lp.	Typ nadajnika	Antena Producent / Typ	Azymut [°]	Wysokość środka elektr. anteny [m n.p.t.]	Pasma [Mhz]	Kąt nachylenia [°]	EIRP dla anteny [W]	LON	LAT
1	DBS3xxx/5xxx	Huawei ADU4518R8	0	38,5	800	0 - 10	11436	18°58'31.96"E	50°07'12.32"N
	DBS3xxx/5xxx				1800	2 - 12		18°58'31.96"E	50°07'12.32"N
	DBS3xxx/5xxx				2100	2 - 12		18°58'31.96"E	50°07'12.32"N
2	DBS3xxx/5xxx	Huawei ADU4518R8	0	38,5	900	0 - 10	10981	18°58'31.96"E	50°07'12.32"N
	DBS3xxx/5xxx				1800	2 - 12		18°58'31.96"E	50°07'12.32"N
	DBS3xxx/5xxx				2100	2 - 12		18°58'31.96"E	50°07'12.32"N
3	DBS3xxx/5xxx	Huawei ADU4518R6	0	39	2600	0 - 12	9662	18°58'31.96"E	50°07'12.32"N
4	DBS3xxx/5xxx	Huawei ADU4518R8	110	38,5	800	0 - 10	11436	18°58'32.60"E	50°07'12.24"N
	DBS3xxx/5xxx				1800	2 - 12		18°58'32.60"E	50°07'12.24"N
	DBS3xxx/5xxx				2100	2 - 12		18°58'32.60"E	50°07'12.24"N
5	DBS3xxx/5xxx	Huawei ADU4518R8	110	38,5	900	0 - 10	10981	18°58'32.60"E	50°07'12.24"N
	DBS3xxx/5xxx				1800	2 - 12		18°58'32.60"E	50°07'12.24"N
	DBS3xxx/5xxx				2100	2 - 12		18°58'32.60"E	50°07'12.24"N
6	DBS3xxx/5xxx	Huawei ADU4518R6	110	39	2600	0 - 12	9662	18°58'32.60"E	50°07'12.24"N
7	DBS3xxx/5xxx	Huawei ADU4518R8	245	38,5	800	0 - 10	11436	18°58'31.70"E	50°07'10.70"N
	DBS3xxx/5xxx				1800	2 - 12		18°58'31.70"E	50°07'10.70"N
	DBS3xxx/5xxx				2100	2 - 12		18°58'31.70"E	50°07'10.70"N
8	DBS3xxx/5xxx	Huawei ADU4518R8	245	38,5	900	0 - 10	10981	18°58'31.70"E	50°07'10.70"N
	DBS3xxx/5xxx				1800	2 - 12		18°58'31.70"E	50°07'10.70"N
	DBS3xxx/5xxx				2100	2 - 12		18°58'31.70"E	50°07'10.70"N
9	DBS3xxx/5xxx	Huawei ADU4518R6	245	39	2600	0 - 12	9662	18°58'31.70"E	50°07'10.70"N

W załączonej tabeli podano maksymalne parametry pracy tej instalacji deklarowane przez prowadzącego instalację. Podczas pomiarów urządzenia użytkownika pracowały przy aktualnie występującym obciążeniu. Anteny o sterowanych wiązkach zostały ustawione w sposób umożliwiający spełnienie wymagań pkt 13 ppkt 2 RMK.

Jako dopuszczalne poziomy gęstości pola elektromagnetycznego przyjmuje się wartość 2 W/m², co odpowiada natężeniu składowej elektrycznej pola elektromagnetycznego o wartości 28 V/m – tj. minimalnej wartości dopuszczalnej dla zakresu częstotliwości od 10 MHz do 300 GHz, dzięki czemu zostaje uwzględniona obecność innych instalacji emitujących pole – EM w sąsiedztwie.

5. Wyniki badań i szkic sytuacyjny

Tabela nr 3

Data wykonania pomiarów	Godzina		Opady	Temperatura [°C]		Wilgotność [%]	
	Rozpoczęcia pomiarów	Zakończenia pomiarów		Minimalna	Maksymalna	Minimalna	Maksymalna
14.12.2023	8:30	10:10	Brak	3,8	4,3	60	62

Temperatura i wilgotność względna nie wyższa niż dopuszczalna specyfikacja miernika.

Tabela nr 4

Nr pionu / punktu	Lokalizacja pionu / punktu pomiarowego			Wysokość pomiaru [m]	Wartość zmierzona [V/m]	Wynik badania pola-E ¹⁾ [V/m]	Wskaźnik poziomu emisji WM _E	Wartość wyznaczona pola-H [A/m]	Wskaźnik poziomu emisji WM _H
	LAT	LON	Opis						
1	2	3	4	5	6	7	8	9	10
1	50.12030	18.97556	GKP; poziom terenu wokół stacji bazowej	2,0	1,3	1,8	0,06	0,005	0,06
2	50.12039	18.97556	GKP; poziom terenu wokół stacji bazowej	2,0	1,5	2,0	0,07	0,005	0,07
3	50.12086	18.97556	GKP; poziom terenu wokół stacji bazowej	2,0	1,4	1,9	0,07	0,005	0,07
4	50.12133	18.97556	GKP; poziom terenu wokół stacji bazowej	2,0	1,6	2,2	0,08	0,006	0,08
5	50.12241	18.97556	GKP; poziom terenu wokół stacji bazowej - 259m od obiektu, na az.0°	2,0	1,0	1,4	0,05	0,004	0,05
6	50.12019	18.97597	GKP; poziom terenu wokół stacji bazowej	2,0	1,1	1,5	0,05	0,004	0,05
7	50.12025	18.97608	GKP; poziom terenu wokół stacji bazowej	2,0	1,3	1,8	0,06	0,005	0,06
8	50.12053	18.97669	GKP; poziom terenu wokół stacji bazowej	2,0	1,1	1,5	0,05	0,004	0,05
9	50.12004	18.97615	GKP; poziom terenu wokół stacji bazowej	2,0	1,2	1,6	0,06	0,004	0,06
10	50.12002	18.97663	GKP; poziom terenu wokół stacji bazowej	2,0	1,4	1,9	0,07	0,005	0,07
11	50.12001	18.97714	GKP; poziom terenu wokół stacji bazowej	2,0	1,2	1,6	0,06	0,004	0,06
12	50.12000	18.97603	GKP; poziom terenu wokół stacji bazowej	2,0	1,1	1,5	0,05	0,004	0,05
13	50.11997	18.97617	GKP; poziom terenu wokół stacji bazowej	2,0	1,3	1,8	0,06	0,005	0,06
14	50.11980	18.97692	GKP; poziom terenu wokół stacji bazowej	2,0	1,2	1,6	0,06	0,004	0,06
15	50.11964	18.97753	GKP; poziom terenu wokół stacji bazowej	2,0	1,1	1,5	0,05	0,004	0,05
16	50.11927	18.97911	GKP; poziom terenu wokół stacji bazowej - 259m od obiektu, na az.110°	2,0	0,8	1,1	0,04	0,003	0,04
17	50.11989	18.97592	GKP; poziom terenu wokół stacji bazowej	2,0	1,1	1,5	0,05	0,004	0,05
18	50.11983	18.97603	GKP; poziom terenu wokół stacji bazowej	2,0	1,2	1,6	0,06	0,004	0,06
19	50.11947	18.97650	GKP; poziom terenu wokół stacji bazowej	2,0	1,0	1,4	0,05	0,004	0,05
20	50.11947	18.97569	GKP; poziom terenu wokół stacji bazowej	2,0	0,8	1,1	0,04	0,003	0,04
21	50.11944	18.97533	GKP; poziom terenu wokół stacji bazowej	2,0	1,0	1,4	0,05	0,004	0,05
22	50.11936	18.97528	GKP; poziom terenu wokół stacji bazowej	2,0	0,8	1,1	0,04	0,003	0,04

¹⁾ Za wynik badania przyjmuje się wartość wyznaczoną jako maksymalny chwilowy wynik pomiarów powiększony o rozszerzoną niepewność pomiaru U dla współczynnika rozszerzenia k=2.

Objaśnienia:

GKP – Główny Kierunek Pomiarowy

Tabela nr 4 cd.

Nr pionu / punktu	Lokalizacja pionu / punktu pomiarowego			Wysokość pomiaru	Wartość zmierzona	Wynik badania pola-E ¹⁾	Wskaźnik poziomu emisji WM _E	Wartość wyznaczona pola-H	Wskaźnik poziomu emisji WM _H
	LAT	LON	Opis						
1	2	3	4	5	6	7	8	9	10
23	50.11892	18.97503	GKP; poziom terenu wokół stacji bazowej	2,0	1,0	1,4	0,05	0,004	0,05
24	50.11955	18.97514	GKP; poziom terenu wokół stacji bazowej	2,0	1,0	1,4	0,05	0,004	0,05
25	50.11950	18.97503	GKP; poziom terenu wokół stacji bazowej	2,0	1,1	1,5	0,05	0,004	0,05
26	50.11935	18.97447	GKP; poziom terenu wokół stacji bazowej	2,0	1,3	1,8	0,06	0,005	0,06
27	50.11911	18.97367	GKP; poziom terenu wokół stacji bazowej	2,0	1,2	1,6	0,06	0,004	0,06
28	50.11866	18.97217	GKP; poziom terenu wokół stacji bazowej - 259m od obiektu, na az.245°	2,0	0,9	1,2	0,04	0,003	0,04
29	50.12008	18.97519	GKP; poziom terenu wokół stacji bazowej	2,0	1,1	1,5	0,05	0,004	0,05
30	50.12008	18.97506	GKP; poziom terenu wokół stacji bazowej	2,0	1,0	1,4	0,05	0,004	0,05
31	50.12008	18.97409	GKP; poziom terenu wokół stacji bazowej	2,0	1,1	1,5	0,05	0,004	0,05
32	50.12025	18.97536	GKP; poziom terenu wokół stacji bazowej	2,0	1,2	1,6	0,06	0,004	0,06
33	50.12033	18.97528	GKP; poziom terenu wokół stacji bazowej	2,0	1,3	1,8	0,06	0,005	0,06
A	-	-	DPP; światło okna balkonowego budynku przy ul. Rodzeństwa Krzyżowskich 74 (p.2 / m.22)	2,0	1,4	1,9	0,07	0,005	0,07
B	-	-	DPP; światło okna balkonowego budynku przy ul. Rodzeństwa Krzyżowskich 72 (p.3 / m.13)	2,0	1,6	2,2	0,08	0,006	0,08
C	-	-	DPP; światło okna balkonowego budynku przy ul. Rodzeństwa Krzyżowskich 72 (p.3 / m.16)	2,0	1,9	2,6	0,09	0,007	0,09
D	50.12021	18.97569	DPP; światło okna budynku przy ul. Harcerska 9 (parter)	2,0	1,2	1,6	0,06	0,004	0,06
E	-	-	DPP; światło okna klatki schodowej budynku przy ul. Honoraty 14 (p.3)	2,0	1,1	1,5	0,05	0,004	0,05
F	-	-	DPP; światło okna klatki schodowej budynku przy ul. Honoraty 14 (p.4)	2,0	1,4	1,9	0,07	0,005	0,07
G	-	-	DPP; światło okna klatki schodowej budynku przy ul. Honoraty 20 (p.3)	2,0	1,4	1,9	0,07	0,005	0,07
H	-	-	DPP; światło okna klatki schodowej budynku przy ul. Honoraty 20 (p.4)	2,0	1,6	2,2	0,08	0,006	0,08
I	-	-	DPP; światło okna klatki schodowej budynku przy ul. Żwakowska 28 (p.6)	2,0	1,6	2,2	0,08	0,006	0,08
J	-	-	DPP; światło okna klatki schodowej budynku przy ul. Żwakowska 28 (p.8)	2,0	1,9	2,6	0,09	0,007	0,09

¹⁾ Za wynik badania przyjmuje się wartość wyznaczoną jako maksymalny chwilowy wynik pomiarów powiększony o rozszerzoną niepewność pomiaru U dla współczynnika rozszerzenia k=2.

Objaśnienia:

GKP – Główny Kierunek Pomiarowy

DPP – Dodatkowy Pion Pomiarowy

Tabela nr 4 cd.

Nr pionu / punktu	Lokalizacja pionu / punktu pomiarowego			Wysokość pomiaru [m]	Wartość zmierzona [V/m]	Wynik badania pola-E ¹⁾ [V/m]	Wskaźnik poziomu emisji WM _E	Wartość wyznaczona pola-H [A/m]	Wskaźnik poziomu emisji WM _H
	LAT	LON	Opis						
1	2	3	4	5	6	7	8	9	10
K	-	-	DPP; światło okna klatki schodowej budynku przy ul. Żwakowska 28 (p.10)	2,0	2,1	2,8	0,10	0,008	0,10
L	-	-	DPP; światło okna budynku przy ul. Harcerska 10 (p.2 / m.57)	2,0	1,0	1,4	0,05	0,004	0,05
M	-	-	DPP; światło okna budynku przy ul. Harcerska 12 (p.3 / m.47)	2,0	1,2	1,6	0,06	0,004	0,06
N	-	-	DPP; światło okna budynku przy ul. Harcerska 12 (p.2 / m.46)	2,0	1,0	1,4	0,05	0,004	0,05

¹⁾ Za wynik badania przyjmuje się wartość wyznaczoną jako maksymalny chwilowy wynik pomiarów powiększony o rozszerzoną niepewność pomiaru U dla współczynnika rozszerzenia k=2.

Objaśnienia:

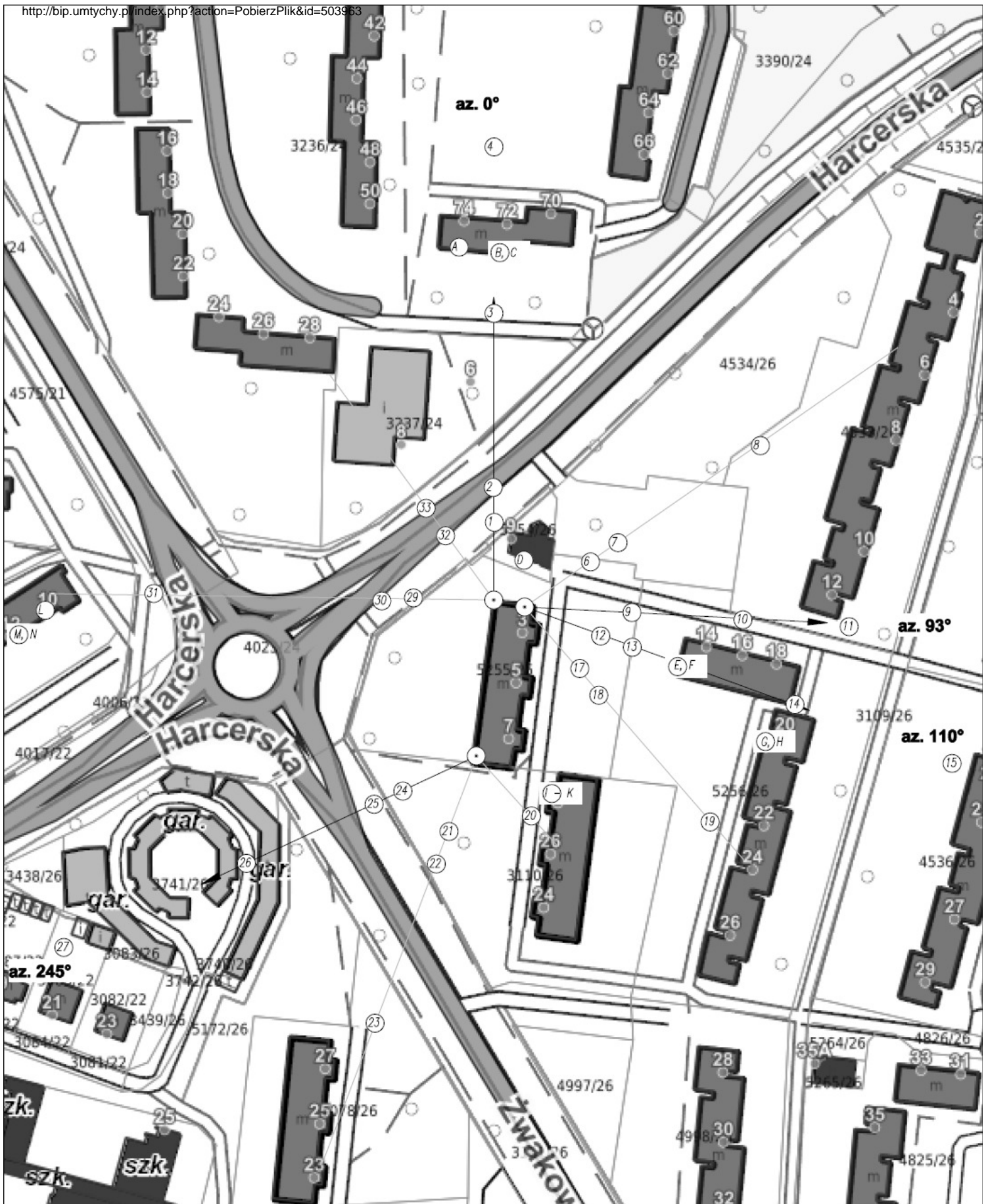
GKP – Główny Kierunek Pomiarowy

DPP – Dodatkowy Pion Pomiarowy

Wyniki pomiarów odnoszą się wyłącznie do przedstawionych w sprawozdaniu punktów / pionów pomiarowych.

Dane podane przez klienta wpływają na ważność wyników.

W obszarze pomiarowym zainstalowane są urządzenia obcych operatorów, które zostały uwzględnione podczas wykonywania badań. Urządzenia te pracowały przy aktualnie występującym obciążeniu i mogą mieć wpływ na przedstawione wyniki badań.



UWAGA: Nie wszystkie punkty / piony pomiarowe zostały wskazane na powyższej mapie

LEGENDA:

- ⊙ – Punkty (piony) pomiarowe
- ⊙ – Lokalizacja źródła pola-EM



Uzytkownik: P4 Sp. z o.o. 02-677 Warszawa, ul. Wyzalek 1	Nr stacji TYC0035_D	Skala 1:1500
Nazwa rysunku: Rozmieszczenie pionów pomiarowych		
Nr sprawozdania: 564/2023/OS/10		
LABORATORIUM BADAWCZE SOLDI ul. Bieżanowska 22, 30-812 Kraków	Opracował: Laboratorium Badawcze Soldi	Nr rysunku 01

6. Podsumowanie wyników badania

Minimalne dopuszczalne poziomy elektromagnetycznego promieniowania niejonizującego charakteryzowane przez wartości graniczne wielkości fizycznych dla miejsc dostępnych dla ludności, uwzględniające wszystkie źródła promieniowania mogące występować w obszarze pomiarowym, w zakresie pomiarowym zestawu pomiarowego, opisanego w punkcie 2 niniejszego sprawozdania, zgodnie z rozporządzeniem Ministra Zdrowia z dnia 17 grudnia 2019 r. w sprawie dopuszczalnych poziomów pól elektromagnetycznych w środowisku (Dz. U. 2019 poz. 2448), które zostały przyjęte do obliczeń wskaźników WME i WMH wynoszą odpowiednio:

Tabela nr 5

Zakres częstotliwości	Natężenie pola - E	Natężenie pola - H
10 MHz – 300 GHz	28 V/m	0,073 A/m

Przeprowadzone badania zostały wykonane przy użyciu miernika szerokopasmowego i nie wykazały przekroczenia 70% ww. wartości dopuszczalnych. W wyniku przeprowadzonego badania potwierdzono także, że otrzymane wartości wskaźnikowe dla wszystkich punktów / pionów pomiarowych badanej instalacji radiokomunikacyjnej, nie przekroczyły wartości 1. Zatem poziomy pól elektromagnetycznych w badanych punktach są dopuszczalne.

Stwierdzenie zgodności zostało przedstawione na podstawie wyników badań oraz informacji uzyskanych od klienta (za które Laboratorium nie ponosi odpowiedzialności) dla instalacji opisanej w punkcie 4.

Stwierdzenia zgodności dokonano na podstawie zasady podejmowania decyzji i wymagań zawartych w załączniku do rozporządzenia Ministra Klimatu z dnia 17 lutego 2020 r. w sprawie sposobów sprawdzania dotrzymania dopuszczalnych poziomów pól elektromagnetycznych w środowisku (Dz. U. 2022 poz. 2630).

Tabela nr 6

Badanie wykonał:	Sprawozdanie sporządził:	Sprawdził:
Paweł Wawrzak	Robert Kłosek	20.12.2023 r. Wiktoria Chłapek

KONIEC SPRAWOZDANIA